Zusammenstellung ausgewählter Archivunterlagen der Geologischen Bundesanstalt

GEOFAST 1:50 000

146 - Oetz

Stand: 2011
Ausgabe: 2011/07

Lage der Darstellung in Österreich
mit Blattraster ÖK50
1 : 5 000 000

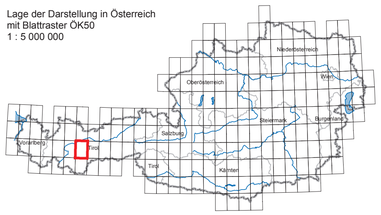

Tektonische Übersicht 1: 400 000

QUARTÄR
- Quartäre Talfüllung

OSTALPIN

Tirolisches Deckensystem
- Inntal-Decke

Bajuvarisches Deckensystem
- Lechtal-Decke

Ötztal-Bundschuh-Deckensystem
- Ötztal-Kristallin

Erhältlich im Verlag der Geologischen Bundesanstalt - www.geologie.ac.at, A-1030 Wien, Neulinggasse 38.
© 2011 Geologische Bundesanstalt für den Datensatz und alle abgeleiteten Produkte. -
Topografie © BEV - 2011, Vervielfältigt mit Genehmigung des BEV - Bundesamtes für Eich- und Vermessungswesen in Wien, T2011/72845.

Projektleitung: H. G. Krenmayr,
geol. u. kart. Redaktion: W. Pavlik,
GIS-Bearbeitung: I. Bayer -
Techn. Koordination: M. Schiegl.

Übersicht der eingearbeiteten Karten - 1: 400 000

Zitate, erstellt aus GEOKART - http://www.geologie.ac.at/GBADB1/index.html (unvollständig)

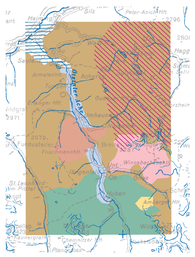

GEOKART - online
- E. Chowanetz, 1990
- P. Hacker & W. Mostler, 2002
- W. Hammer et al., 1929
- H. Heuberger, 1966
- S. Hoernes & E. Hoffer, 1973
- K. Krainer & W. Mostler, 2004
- C. Prager et al., 2009
- G. Patzelt, 2010

Kompilation: GBA 2011
O. KREUSS

Hinweis für Nutzer/-innen

GEOFAST-Karten werden überwiegend aus Archivunterlagen der Geologischen Bundesanstalt erstellt. Ergänzend können auch publizierte Karten, meist älteren Datums, in die Zusammenstellung einfließen. Eine Überprüfung durch zusätzliche Geländebegehungen erfolgt nicht. Diskontinuitäten zwischen den verwendeten Kartenunterlagen verschiedener Autoren werden bewusst beibehalten und können sich als Sprünge in den Konturlinien äußern. Geologische Inhalte werden in die aktuellen stratigrafischen und tektonischen Modelle überführt. Aufgrund der Übertragung der geologischen Inhalte von Karten mit veralteter Topografie und größeren Maßstäben in die aktuelle topografische Grundlage sind Lageungenauigkeiten vorhanden.

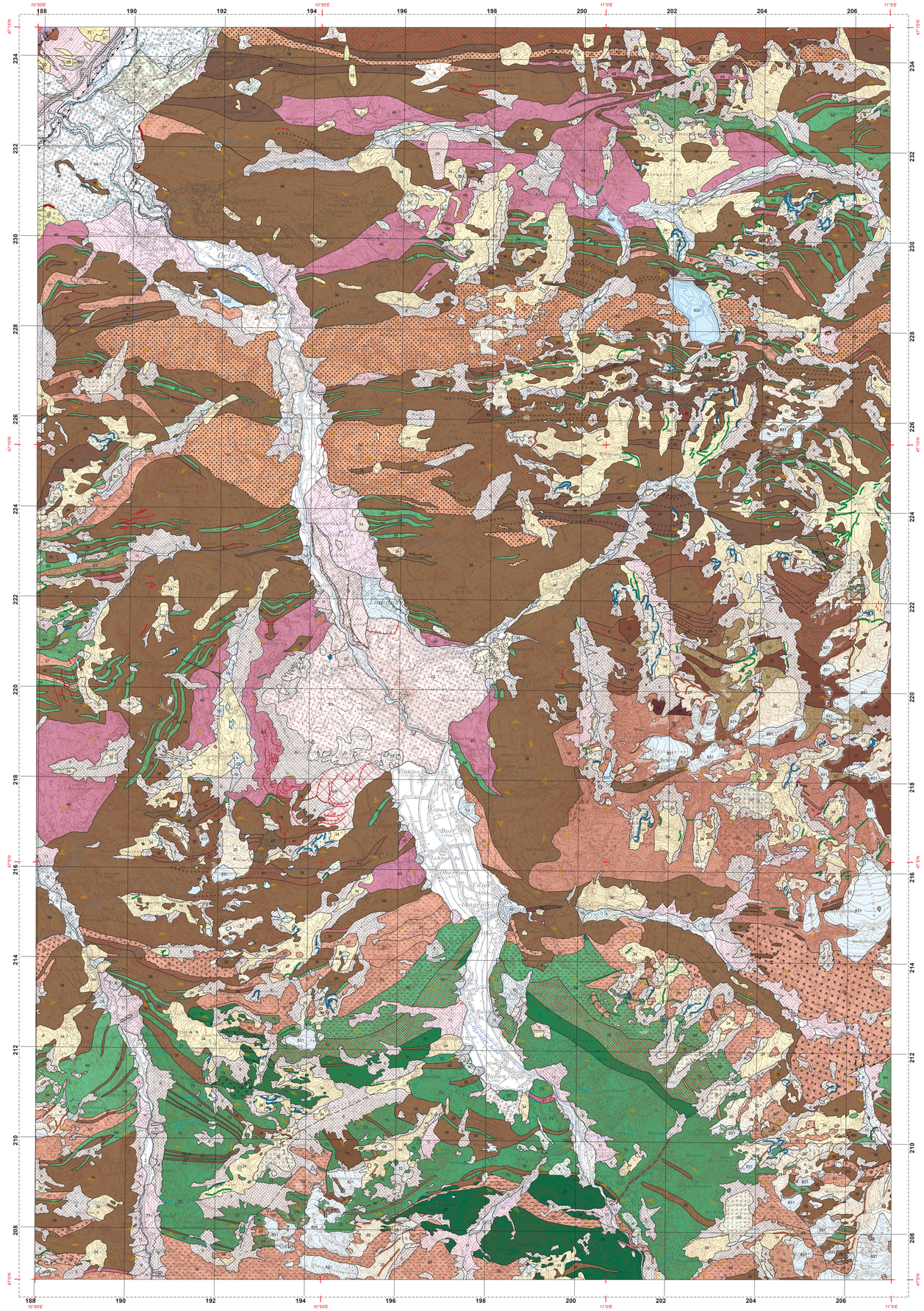

Quartär

- Antropogene Aufschüttung
- 2 Talboden, jüngste Ablagerungen, rezenter Talboden, Talalluvion (Schluff, Sand, Kies)
- 3 Ablagerungen in Talsohlen und Talkerben, Wildbachschutt
- 4 Hangschutt, Schuttkegel
- 5 Hangschutt
- 6 Schuttfächer, Schuttkegel
- 7 Blockschutt, Grobblockwerk
- 8 Vernässung
- 9 verlandeter See
- 10 Schwemmkegel, Schwemmfächer
- 11 Schwemmfächer, Murschuttkegel
- 12 Schwemmfächer der Ötztaler Ache (bei Umhausen)
- 13 Schwemmfächer des Harlachbach (bei Umhausen)
- 14 alter Schwemmkegel
- 943 Erosionsböschung, Sturzböschung
- 15 Solifluktion
- 16 Bergsturzablagerung, Bergsturzblöcke aus Triassesteinen (Tschirgant-Bergsturz)
- 17 Bergsturz-Spritzzone, Abgrenzung angenommen (Tschirgant-Bergsturz)
- 80 Bergsturz, Brandungswall
- 18 Fluviatiles Sediment, glaziales Geschiebe im Bergsturzmaterial (Tschirgant-Bergsturz)
- 19 Bimsstein von Köfels
- 20 Bergsturzablagerung aus Amphibolit
- 21 Bergsturzablagerung aus Gneisen
- 22 Bergsturzablagerung aus Paragneis (Biotitplagioklasgneis, Schiefergneis und Gneisglimmerschiefer)
- 23 Bergsturzablagerung aus Orthogneis (Zweiglimmeriger Augen- und Flasergneis)
- 24 Tiefgründige Massenbewegung von Lehnstrich (Blockmasse)
- 25 913 junge Moränen (der neuzeitlichen Gletscherhochstände) mit Wallform
- 26 verschwemmte Moräne
- 27 Grundmoräne, umgelagert
- 28 Postglaziale Seesande und Schotter in Niederthai
- 29 Rutschmasse
- 30 912 Blockgletscherablagerungen (Spätglazial - Holozän) mit Wallform
- 31 Flussablagerung (Hochflutsediment), spätglazial
- 33 Moränen des Inntalgletschers (Grundmoränen).
- 34 918 Moräne der Seitentalgletscher (Rückzugsstadien) mit Wallform
- 59 interglaziale Terrassenschotter (Schotter, Sand)

Holozän; Pleistozän; Würm; Riß - Würm

Ostalpin

Tirolisches Deckensystem

Inntal-Decke

- 36 Wettersteindolomit (gebankter bis massiger Dolomitstein; Oberes Oberanisium - Unteres Karnium)

Bajuvarisches-Deckensystem

Lechtal-Decke

- 81 Hauptdolomit (grauer bis graubrauner gebankter Dolomit; Oberstes Karnium - Norium)
- 87 Raibl Gruppe ungegliedert (Tonstein, Mergel, Sandstein, Kalkstein, Dolomitstein; Karnium)

Ötztal-Bundschuh Deckensystem

Ötztal-Kristallin

- 38 Biotit-Plagioklas-Gneis (Schiefergneis) und Gneisglimmerschiefer
- 40 Biotitblastengneis
- 41 Schuppiger Biotitgneis
- 42 Feinkörnige Biotitschiefer
- 43 Quarzite wechsellagernd mit Biotitschiefer
- 44 Quarzit
- 45 Marmor
- 47 Glimmerschiefer, granat- und staurolithführend
- 48 Feldspatknotenbildung im Schiefergneis und Glimmerschiefer
- 47 Muskowitgranitgneis, Aplit und Pegmatit
- 48 Aplit und Pegmatit
- 49 Zweiglimmeriger Augen- u. Flasergneis (Granitgneis)
- 50 51 Migmatit, Cordieritführung
- 52 migmatitischer Biotitgranit
- 53 migmatitischer Biotitschiefer
- 54 migmatitischer Gneis
- 55 Gaislehngranitgneis (Porphyrischer Biotitgranitgneis u. Injektionsgneis des Gaislehnkogels)
- 56 Winnebach-Granit (feinkörnig-gleichkörniger Granit; Muschenschneid-Granit nach Schindlmayr)
- 57 Biotitgranitgneis
- 59 Biotitaugengneis
- 59 geschieferter Biotitaugengneis
- 60 massiger Biotitaugengneis
- 61 Biotitflasergneis
- 62 Granodioritgneis
- 63 Hornblendebiotitgneis und Biotitorthogneis der Amphibolitzonen
- 64 Amphibolite und Hornblendeschiefer
- 65 Serie der hellen Bänderamphibolite (Bänder-Amphibolite, linsenförmige Eklogite und Peridodite)
- 66 Peridotit
- 67 Diabas, Diabasische Ganggesteine
- 68 Diorit von Huben
- 69 Saussurit-Amphibolit
- 70 Serie der diablastischen Granatamphibolite
- 71 Alumosilikatgneisserie
- 72 Alumosilikatgneise
- 73 Wechselserie (Amphibolit-Paragneis-Wechsellagerung)
- 74 Migmatische Wechselserie (migmatische Amphibolit-Paragneis-Wechsellagerung)
- 75 Hornblendegneis, Hornblende-Biotit-Gneis
- 76 Chloritschiefer
- 77 Kalifeldspat-Plagioklas-Gneis
- Südliche Eklogitzone (Eklogit, Eklogit-Amphibolite)
- 901 Mylonitzone
- 886 Zonen starker postkristalliner Deformation

Diverse Zeichen

- Störung (gesichert)
- Störung (vermutet)
- Deckengrenze (gesichert)
- Deckengrenze (vermutet)

Streichen und Fallen der Schieferung und Schichtung
- flach
- mittel
- steil
- saiger

Sonstige
- Gletscherschliff
- Bergbau aufgelassen
- Terrassenkante, Erosionskante
- Abrißkante, Rutschung (gesichert)
- Zerrspalte
- Antitheter
- 830 Gewässer
- 831 Gletscher

1 : 50 000 (1 cm ≙ 500 m)

500 0 1000 2000 3000 4000 5000 m

Gauß-Krüger-Abbildung, Koordinatensystem M 28 des Bundesmeldenetzes